于江辉,李焱瑶,秦冠男,等. 水稻 OsNRAMP5 基因低镉积累突变位点功能标记的开发与验证[J].江苏农业学报,2022,38(2):289-295. doi:10.3969/j.issn.1000-4440.2022.02.001

水稻 OsNRAMP5 基因低镉积累突变位点功能标记的 开发与验证

于江辉1, 李焱瑶1, 秦冠男1, 翁绿水1, 蒋显斌2, 邓力华1

(1.中国科学院亚热带农业生态研究所/亚热带农业生态过程重点实验室,湖南 长沙 410125; 2.广西农业科学院水稻研究 所/广西水稻遗传育种重点实验室,广西 南宁 530007)

摘要: 为了对水稻低镉积累基因进行精准检测和世代跟踪,提高低镉积累水稻品种的分子标记辅助育种 (MAS)选育效率,基于籼稻品种 9311 及其低镉积累突变体 lcd1 材料 7 号染色体上 OsNRAMP5 基因第 7 外显子单核苷酸的突变,参照四引物扩增受阻突变 PCR (Tetra-primer amplification refractory mutation system-PCR,Tetra-primer ARMS-PCR)原理设计了共显性功能标记 nra5fun,且采用 PCR 方法分别对 18 份籼稻、18 份粳稻及金 23B/lcd1 杂交 F₁代材料进行分子标记特异性验证。电泳结果表明,含 OsNRAMP5 基因 SNP 突变材料 lcd1 可扩增出大小为 723 bp、210 bp 的条带,含野生型 OsNRAMP5 基因的材料 9311 可扩增出大小为 723 bp、557 bp 的条带,金 23B/lcd1 F₁ 代杂合型材料可扩增出大小为 723 bp、557 bp、210 bp 的条带,共显性标记 nra5fun 得到的电泳条带与引物设计时预测的目标片段完全吻合;Sanger 测序结果表明,电泳扩增条带片段的序列与目的基因的 DNA 序列和 SNP 突变位点的序列一致;18 份籼稻和 18 份粳稻种质资源均能扩出大小为 723 bp、557 bp 2 个目的条带,说明这些材料均不含有OsNRAMP5 基因的单个 SNP 突变,表明该标记特异性较高。因此,开发的功能标记 nra5fun 能够准确、高效地识别水稻低镉积累基因的纯合突变型、纯合野生型和杂合型、可在水稻低镉积累分子育种中推广应用。

关键词: 水稻; 低镉; 分子标记; 分子育种; OsNRAMP5 基因

中图分类号: S511.035.3 文献标识码: A 文章编号: 1000-4440(2022)02-0289-07

Development and validation of functional markers of low-cadmium accumulation mutation sites in rice *OsNRAMP5* gene

YU Jiang-hui¹, LI Yan-yao¹, QIN Guan-nan¹, WENG Lü-shui¹, JIANG Xian-bin², DENG Li-hua¹ (1.Institute of Subtropical Agriculture, Chinese Academy of Sciences/Key Laboratory of Agro-ecological Processes in Subtropical Region, Changsha 410125, China; 2.Rice Research Institute, Guangxi Academy of Agricultural Sciences/Guangxi Key Laboratory of Rice Genetics and Breeding, Nanning 530007, China)

Abstract: The purpose of this study is to achieve accurate detection and generation tracking of low cadmium accumulation genes in rice, and improve the efficiency of molecular marker assisted selection (MAS). There was a single nucleotide mutation in exon 7 of *OsNRAMP5* gene on chromosome 7 between the *indica* rice 9311 and the mutation lcd1, and the co-dominance functional marker *nra5fun* was developed according to tetra-primer amplification refractory mutation system-PCR. PCR was used to verify the molecular marker specificity of 18 *indica* rice, 18 *japonica* rice and Jin23B/lcd1 hybrid F₁

收稿日期:2021-09-05

基金项目:国家自然科学基金联合基金项目(U19A2025)

作者简介:于江辉(1986-),男,内蒙古乌兰察布人,硕士,助理研究员,主要从事水稻分子育种研究。(E-mail)yujianghui@isa.ac.cn。李焱瑶为共同第一作者。

通讯作者:蒋显斌,(E-mail)350139343@qq.com;邓力华,(E-mail)denglihua@isa.ac.cn

materials. Electrophoretic detection results showed that the mutant material lcd1 containing *OsNRAMP5* gene could be amplified 723 bp and 210 bp bands, the 9311 containing wild-type *OsNRAMP5* gene could be amplified 723 bp and 557 bp bands, and the heterozygote Jin23B/lcd1 could be amplified 723 bp, 557 bp and 210 bp bands. The electrophoresis bands obtained by co-dominant marker *nra5fun*

were consistent with those of the predicted target fragments. Sanger sequencing results showed that the sequence of amplified fragment was consistent with the DNA sequence of the target gene and the sequence of single nucleotide polymorphism (SNP) sites. Two target bands with lengths of 723 bp and 557 bp were amplified from 18 indica and 18 japonica germplasm resources, indicating that these cultivars did not contain single SNP mutation of OsNRAMP5 gene. So, the marker had high specificity. In conclusion, the functional marker nra5fun can accurately and efficiently identify homozygous mutant, homozygous wild type and heterozygous type of low cadmium accumulation genes in rice, and it can be widely used in the breeding of low cadmium rice cultivars.

Key words: rice; low-cadmium; molecular marker; molecular breeding; OsNRAMP5 gene

水稻(Oryza sativa L.)是全球近半数人口的主要粮 食作物,是中国仅次于玉米的主要粮食作物,广泛分布 于中国六大稻区。随着工农业的高速发展和城市化进 程的推进,土壤重金属污染已经成为世界范围内的一 个重要环境问题,中国面临的形势更加严峻[1]。同时, 由于工业"三废"的不合理排放、污水的大量灌溉、污泥 的大量利用、农药及化肥的过量使用等原因,使得土壤 中的重金属镉(Cd)含量持续增加,Cd污染日益严 重[2]。研究发现,水稻比其他谷类作物更容易积累 Cd,且Cd可以通过根系在植株中运输和积累,尤其是 在可食用的稻米部分,而 Cd 在稻米中的积累威胁到了 粮食安全[3-4]。特别是近年来,中国南方出现的"镉大 米"引起了人们对大米等农产品 Cd 污染的极大关 注[5]。此外,相关研究发现,高浓度的土壤 Cd 污染会 导致水稻减产[6]。2005年的调查数据显示,中国受Cd 污染的耕地面积近1.33×10⁴ hm²,由此每年造成粮食减 产在1×10⁷ t 以上,受 Cd 污染的稻谷近2×10⁶ t,直接经 济损失超过2×10¹⁰元^[7]。为了避免水稻中 Cd 积累过 量,近年来科学家们提出并研究了一些降低水稻籽粒 中 Cd 积累量的技术措施,主要包括使用物理、化学和 生物方法阻碍稻田 Cd 经根系进入植株体内、适当配施 有机肥和化肥、采用间作或作物轮作、适当采用田间淹 水管理等农艺调控措施, 以及利用分子生物学和遗传 学方法培育低 Cd 积累水稻品种的育种调控措施等[8]。 其中,培育低 Cd 积累水稻品种被认为是减少稻米 Cd 含量效果最好和最经济的方法^[9]。可以看出,低 Cd 积 累水稻品种的选育,对人体健康、食品安全、粮食稳产 和环境保护等具有重大意义。

近年来,研究人员在探索植物吸收 Cd 的生理、生化及分子生物学的过程中,相继挖掘、研究了许多调控或参与调控水稻 Cd 吸收、运输和积累的相关蛋白质。目前,研究者至少已经克隆了 34 个相关基因,其中一些关键基因的发现对水稻低 Cd 积累育种具有重要的应用价值^[5,10]。 *OsHMA3* 是一个位于 7 号染色体上的

控制水稻 Cd 积累的基因,是 P1B 类型的重金属 ATP 酶(HMA)基因家族成员,该基因的表达主要在根部,相 关研究发现,水稻中有9个HMA基因,过表达OsHMA3 会抑制 Cd 从水稻根系向植株的运输,因此过表达 OsH-MA3 基因能显著降低稻米 Cd 含量,而不影响其他微量 元素含量[11-13]。OsCd1 是位于水稻 3 号染色体上的一 个与谷粒 Cd 积累相关的基因,它属于膜转运蛋白质的 主要协同转运蛋白超家族(Major facilitator superfamily, MFS)基因,主要在根细胞的质膜中表达。粳稻的主要 基因为 OsCd1^{V49}, 籼稻的主要基因为 OsCd1^{D44}, 在籼稻 中导入粳稻 OsCd1^{V449}基因可显著降低谷粒 Cd 含量,且 对植株生殖生长和产量等性状无显著影响[14]。水稻自 然抗性相关巨噬细胞蛋白(Natural resistance-associated macrophage protein, NRAMP)基因是一种高度保守的二 价金属离子转运蛋白质家族基因成员,目前在水稻基 因组中发现的 NRAMP 基因有 7 个,其中 OsNRAMP5 位 于其根、外皮层的远端,因此在根内具有较高表达量, 其编码的蛋白质位于细胞质膜上,主要参与根系对锰 (Mn)和Cd的吸收[15]。研究发现,OsNRAMP5基因敲 除或表达量的减少会显著降低水稻对 Cd、Mn 的吸收 量,从而导致其对Cd的积累量减少,但在低Mn环境下 会影响植株的生长,同时也会影响植株产量[16-20]。而 Chang 等[21]研究发现,虽然过量表达 OsNRAMP5 基因 促进了根系对 Cd 和 Mn 的吸收,但是由于 Cd 在木质 部径向运输的中断,使得 Cd 从根到茎的运输量减少, 导致稻米中的 Cd 含量降低了49%~94%。有研究发 现,通过水稻 OsNRAMP5 基因的突变亦可显著降低稻 谷中 Cd 含量[22-23]。Ishikawa 等[22]利用碳离子束辐射 日本水稻品种越光获得了3个低Cd 突变体,研究发 现,由于 OsNRAMP5 基因突变,导致 Cd 的积累量显著 减少。Cao 等[23]利用甲磺酸乙酯(Ethyl methanesulfonate, EMS)对籼稻品种 9311 进行诱变,获得低 Cd 积累 突变体 lcd1,进一步鉴定发现,在不同 Cd 污染试验田, 突变体 lcd1 稻谷 Cd 含量仅为0.02~0.13 mg/kg,而野 生型 9311 稻谷 Cd 含量达1.02~4.44 mg/kg,可能由于 OsNRAMP5 基因的 1 个碱基的突变,导致稻谷 Cd 积累量的大幅度降低。本研究基于突变材料 lcd1 中 OsNRAMP5 基因 1 个碱基的单核苷酸突变,参照四引物扩增受阻突变 PCR (Tetra-primer amplification refractory mutation system-PCR, Tetra-primer ARMS-PCR)原理,设计出含 4 条引物、与 OsNRAMP5 基因突变位点共分离的共显性功能标记,进一步利用该标记对不同水稻种质资源和金 23B/lcd1 的杂种 F_1 代植株通过 PCR 扩增进行验证,以期开发出功能标记为低 Cd 积累水稻材料的分子育种研究奠定基础。

1 材料与方法

1.1 参试材料

供试水稻材料:含有 OsNRAMP5 基因 SNP 突变的材料 lcd1^[23],由湖南省水稻研究所提供;18 份来自不同地区的籼稻品种(R1044、R43-02、R1269、华占、荃9311B、野香B、金23B、农香42、R106、R299、R900、广恢390、农香39、岳恢9113、珞红5B、望恢006、黄华占、湘早籼45),包括常规籼稻、野生型保持系、红莲型保持系;18 份来自不同地区常规粳稻品种(长粒香、吉粳1、吉粳88、辽粳287、龙粳5号、宁粳4号、千重浪2号、中花11、东稻2号、东稻3号、东稻4号、绥粳4号、越光、长白10号、长选10、东农416、龙粳21、长白9号);金23B/lcd1(杂交F1代材料)、对照籼稻品种9311。上述籼稻、粳稻、杂交F1代材料由笔者所在课题组保存或改造。

1.2 *OsNRAMP5* 基因 **SNP** 突变功能标记的设计与合成

突变材料 lcd1 7 号染色体上 OsNRAMP5 基因的第 7 外显子的 8 887 787 位单核苷酸的隐性突变,会导致 lcd1 籽粒 Cd 含量急剧降低。研究发现,突变体 lcd1 中该位点的碱基为 T,而野生型籼稻 9311 中该位点的核苷酸为 C^[23]。因此,笔者针对 OsNRAMP5 (基因位点: BGIOSGA024510、Os07g0257200)基因编码区 8 887 787 位点存在的单个 SNP,参照 ARMS-PCR 的分子标记原理,设计了由 4 引物(表 1)组成的功能标记 nra5fun,在引物 nra5fun-af、nra5fun-ar、nra5fun-bf 中各设计了 1 个错配碱基,在引物 nra5fun-br 中分别设计了 2 个错配碱基(表 1 中的小写字母)。使用在线工具 Primer3web(http://primer3.ut.ee/)、Primer BLAST 进行

引物设计、引物 T_m 值(指在模板 DNA 过量的情况下,有 50%的引物与模板精确配对,50%的引物处于解离状态时的温度)筛选及引物特异性评估等。由北京擎科新业生物技术有限公司完成 nra5fun 功能标记引物的合成和目的 nra5fun DNA 片段的测序。

表 1 nra5fun 标记引物序列

Table 1 Primer sequences of nra5fun

引物名称	引物序列 (5'→3')	碱基数 (bp)
nra5fun-af	ACAGGTGAGtAAGCTGGAGTT	21
nra5fun-ar	GGAGAtGACGGCGATGTTTATC	22
nra5fun-bf	CTCGGAtCTCTTGTCATGCC	20
nra5fun-br	${\tt GTATGgATGgATGTAAAAGCGTAC\underline{A}}$	25

引物序列中小写字母代表引入的错配碱基,有下划线的核苷酸表示功能 SNP。

1.3 DNA 提取与分子标记检测

水稻移栽 14 d 后取供试材料的叶片,用十六烷基三甲基溴化铵 (CTAB) 法提取 DNA。用 10 μ l PCR 扩增体系对供试材料的目的片段进行扩增,体系组分:5 μ l 2×Rapid Taq Master Mix(由南京诺唯赞生物科技有限公司合成),1 μ l 10 μ mol/L表 1 中的4 种引物等量混合物 (经验证调整后,4 种引物按1:1:1:2 的比例进行混合 PCR 效果较好),1 μ l DNA 模板,3 μ l ddH₂O。在55.0~62.0 Σ 进行最适退火温度探索,最后确定最佳退火温度为61 Σ 。用质量分数为3.0%的琼脂糖凝胶电泳检测本试验的PCR 扩增产物。

2 结果与分析

2.1 nra5fun 功能标记的开发

根据 OsNRAMP5 基因单个 SNP 的突变 $(C \rightarrow T)$,本研究开发了 4 条引物的突变功能标记 nra5fun (图 1)。首先设计 1 对外引物 nra5fun-af 和 nra5fun-ar 作为对照,并各引人 1 个错配碱基,野生型和突变型水稻材料均可以扩增出大小为 723 bp 的条带,且扩增产物都包含功能性 SNP 位点,然后根据 SNP 突变位点设计 2 条反向内引物 nra5fun-br 和 nra5fun-br ,其中引物 nra5fun-br 与突变型基因匹配,其 3'端对应突变碱基 T,引物 nra5fun-br 与野生型基因匹配,其 3'端对应减基 C。同时为了进一步增强 PCR 目的条带的特异性扩增,在引物 nra5fun-br 5'端第 6、10 位分别设计错配碱基 G,在引物 nra5fun-ar 5'端第 6 位设计错配碱基 T。参照 4 条引物设计策略进行预测;引物

nra5fun-br/nra5fun-af 可扩增出大小为 210 bp 的条带,为突变型材料 lcd1 特有条带;引物 nra5fun-bf/nra5fun-ar 可扩增出大小为 557 bp 的条带,为野生型 籼稻 9311 特有条带。由此可见,突变型纯合体可扩

增出2个条带,大小分别为723 bp 和210 bp;而野生型纯合体亦可扩增出2个条带,大小分别为723 bp和557 bp;杂合型材料可扩增出3个条带,大小分别为723 bp、557 bp、210 bp。

nrafun-af 5' -ACAGGTGAGTAAGCTGGAGTT

nrafun-bf 5' -CTCGGAtCTCTTGTCATGCC-3'

图 1 功能标记 nra5fun 引物设计策略

Fig.1 Primer design strategy of functional marker nra5fun

2.2 *nra5fun* 功能标记的验证和退火温度对标记检测效果的影响

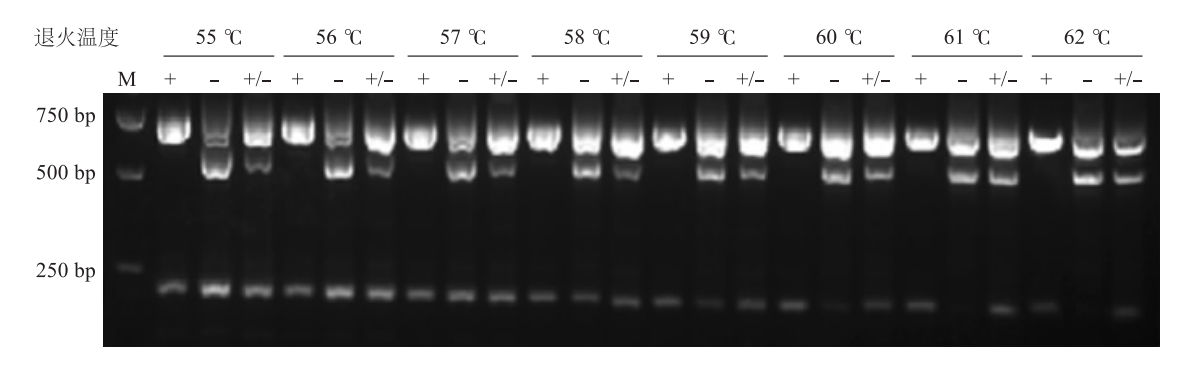
相关研究结果表明,退火温度对 PCR 反应的影 响较大,提高目的条带的特异性需要较高的退火温 度,但会降低其扩增量,而退火温度较低会因 PCR 反应目的片段的特异性不够高而导致假阳性[24]。 为了验证 nra5fun 分子标记的准确性及确定最佳退 火温度,本研究将4条引物按相同组成比例进行 PCR 扩增,且在不同退火温度下扩增特异性条带。 由图 2 可以看出, 当退火温度为55~62 ℃时, 引物 nra5fun-af/nra5fun-ar 均能扩增出大小为 723 bp 的 条带,引物 nra5fun-bf/nra5fun-ar 均可扩增出大小为 557 bp 的条带,可见外引物 nra5fun-af、nra5fun-ar 和 内引物 nra5fun-bf 对退火温度不敏感。由于内引物 nra5fun-br 中设计了 2 个错配碱基, 因此 PCR 反应 目的条带的特异性扩增需要较高的退火温度。结果 表明, 当退火温度为55~60 ℃时, 突变型、野生型、 杂合型水稻均可扩增出大小为 210 bp 左右的条带, 当退火温度达到 61 ℃或 62 ℃时, 突变型(lcd1) 和 杂合型(金 23B/lcd1)水稻均扩增出了大小为 210 bp 左右的条带,而野生型水稻(9311)未扩增出条 带,表明 nra5fun 功能标记最适的退火温度约为 61 $^{\circ}$ 。综上所述,当退火温度为 61 $^{\circ}$ 时,含 OsNRAMP5 基因 SNP 突变材料 lcd1 扩增出了大小为 723 bp、210 bp 的条带,含野生型 OsNRAMP5 基因的 9311 水稻材料扩增出了大小为 723 bp、557 bp 的条带,杂合型金 23B/lcd1 水稻材料扩增出了大小为 723 bp、557 bp、210 bp 的条带。由此可见,共显性标记大小与预测的目标片段大小一致。

为了进一步确认 nra5fun 功能标记物在 61 ℃或 62 ℃退火条件下 PCR 产物的准确性,对退火温度为 61 ℃时突变型、野生型材料 PCR 产物中的最大片段 (723 bp)分别进行切胶回收,并进行 Sanger 测序,由图 3 可以看出,lcd1 突变型、9311 野生型水稻材料 7 号染色体上的8 887 787位核苷酸分别对应 A 和 G(互补链为 T、C),DNA 序列其他碱基无差异,与图 1 的结果一致。

2.3 nra5fun 功能标记对不同水稻种质资源的验证

由于本研究在设计内部引物时,与突变型基因匹配的 nra5fun-br 引物内部引入了 2 个错配碱基,导致目标条带扩增效率降低,条带较浅(210 bp 大小,图 2)。因此为了提高内引物 nra5fun-br 的扩增效率,在进行 PCR 扩增时,将 4 条引物 nra5fun-af、nra5fun-ar、

nra5fun-bf、nra5fun-br 的用量配比调节为1:1:1: 2。电泳结果显示,引物 nra5fun-br/nra5fun-af 扩增 210 bp 条带的效率明显提高,且另 2 种条带的扩增效 率未受影响(图 4)。为进一步验证 nra5fun 功能标记 在不同水稻品种(品系)基因分型中的准确性,利用该 标记对不同来源的 18 份籼稻、18 份粳稻种质资源进 行 PCR 扩增和电泳检测。由图 4 可知,18 份籼稻或 粳稻种质资源中均能扩增出大小为 723 bp、557 bp 的目标条带,且扩增不出大小为 210 bp 的条带类型,说明这些材料均不含有 OsNRAMP5 基因单个 SNP(C→T)的突变。综上所述,利用功能标记 nra5fun 可以准确、快速地判断对应水稻材料中是否含有低 Cd 积累基因 OsNRAMPS 单个 SNP 突变位点,可为低 Cd 积累水稻品种的选育提供新的分子标记辅助选择。



M; DNA marker(DL2000);+; lcd1;-;9311;+/-; 金 23B/lcd1。

图 2 不同退火温度下 PCR 检测 nra5fun 分子标记

Fig.2 Detection of nra5fun by PCR at different annealing temperatures

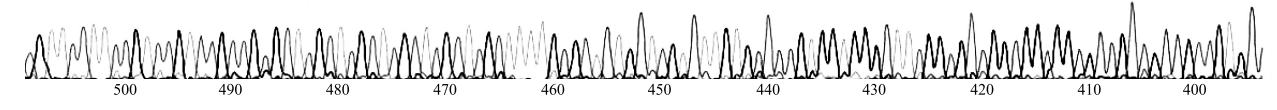
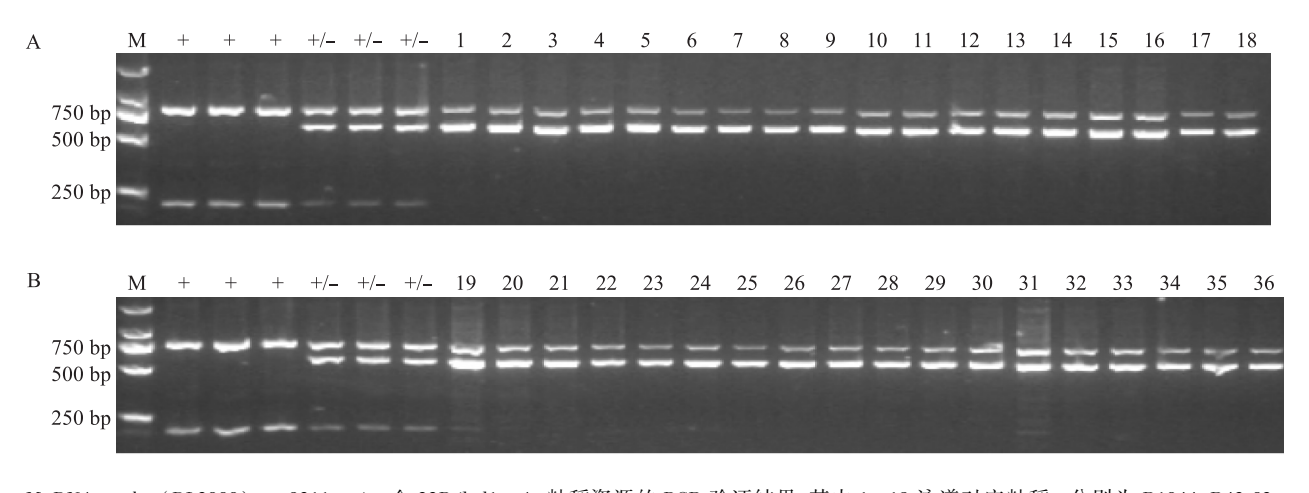


图 3 PCR 产物测序结果

Fig.3 Sequencing results of PCR products



M: DNA marker(DL2000); +: 9311; +/-: 金 23B/lcd1。A: 籼稻资源的 PCR 验证结果, 其中 1~18 泳道对应籼稻,分别为 R1044、R43-02、R1269、华占、荃 9311B、野香 B、金 23B、农香 42、R106、R299、R900、广恢 390、农香 39、岳恢 9113、珞红 5B、望恢 006、黄华占、湘早籼 45。B: 粳稻资源的 PCR 验证结果, 其中 19~36 泳道对应粳稻,分别为长粒香、吉粳 1、吉粳 88、辽粳 287、龙粳 5 号、宁粳 4 号、千重浪 2 号、中花 11、东稻 2 号、东稻 3 号、东稻 4 号、绥粳 4 号、越光、长白 10 号、长选 10、东农 416、龙粳 21、长白 9 号。

图 4 功能标记 nra5fun 对部分水稻种质资源的分子检测结果

Fig. 4 Molecular detection results of some rice germplasm resources using functional marker nra5fun

3 讨论

分子标记辅助育种(Molecular marker-assisted selection, MAS)利用与目的基因共分离的连锁标记或目 的基因自身的功能标记来鉴定杂交改良后代的基因 型,因其操作快速且准确,可提高育种效率和缩短品种 稳定的年限,目前已成为水稻等农作物重要性状改良 的有效方法。但是,连锁标记与目的基因之间可能发 生重组交换,因假阳性导致目的基因丢失,而目的基因 自身的功能标记与其完全耦合,避免了连锁标记存在 的遗传冗余和重组问题,提高了 MAS 选择的效率和准 确性[25]。目前,针对基因内碱基突变差异设计分子标 记的方法主要有2种,分别为限制性内切酶酶切 (CAPS 或者 dCAPS)和扩增受阻突变 PCR(Amplification refractory mutation system PCR, ARMS-PCR), 其中 ARMS-PCR 是最经济且应用最广泛的方法[26],且在此 基础上开发的四引物扩增受阻突变 PCR(Tetra-primer amplification refractory polymorphism system-PCR, Tetraprimer ARMS-PCR),通过单次 PCR 扩增就可将野生纯 合型、突变纯合型、杂合型进行有效区分[27-28]。本研究 利用来自籼稻 9311 的突变体材料 lcd1 的 7 号染色体 上 OsNRAMP5 基因第7外显子的8 887 787位单个 SNP 突变[23],参照 Tetra-primer ARMS-PCR 原理,利用四引 物扩增受阻法设计了功能标记 nra5fun,可以将突变型、 野生型、杂合型水稻材料有效区分,并且对来自不同地 区的籼稻、粳稻各 18 份种质资源进行 PCR 验证。电泳 结果表明,扩增出与野生型9311同样的条带类型,证明 该标记的准确性和特异性,且该标记方法操作简单、扩 增快速准确,在实际应用中优势明显,可以实现对 Os-NRAMP5 基因材料的准确检测,从而可以广泛应用于 水稻低 Cd 积累资源的鉴定和 MAS 育种中。此外,参 照前人的引物设计策略[26,29],本研究在设计外引物时, 分别引入单个错配碱基,结果没有影响引物与模板 DNA 的特异性结合和目的片段的 PCR 扩增效果。据 报道,由于Tetra-primer ARMS-PCR 引物在同一个扩增 体系中,导致目的片段扩增效率和特异性受引物用量 比、酶浓度和退火温度的影响[27]。由于本研究在设计 与突变基因匹配的内引物 nra5fun-br 时引入了 2 个错 配碱基,导致目的条带扩增效率降低,条带较浅。基于 前人的研究结果[25-27],本试验将引物 nra5fun-br 摩尔质 量比提高了1倍后再次进行PCR,结果表明,目的条带 扩增效率明显提高,达到了基因检测的预期效果。同 时,nra5fun 功能标记对退火温度的特异性较高,在退火温度达到 61 ℃或 62 ℃时才可避免假阳性,为此,对 61 ℃退火温度的扩增产物进行测序的结果证实了所扩增目的片段的准确性。前人对 SNP 突变基因分子标记的开发也有相同的试验结果[²⁷]。

近年来,研究者关于水稻根系对 Mn、Cd 吸收的 OsNRAMP5 基因进行了大量研究,旨在剖析该基因的 作用机制和培育低 Cd 积累水稻品种[15-23]。Tang 等^[30]利用 CRISPR/Cas9 对降两优华占亲本 Os-NRAMP5 基因进行编辑, 敲除该基因后培育出的两优 低镉 1 号稻米的 Cd 积累量比野生型隆两优华占降低 了98%以上,而且产量间无显著差异。此外,研究者 通过靶向编辑不同遗传背景水稻材料的 OsNRAMP5 基因,亦获得了一些低 Cd 积累的水稻品系[17-18]。但 是上述通过基因编辑手段改变 OsNRAMP5 基因表达 量培育的"去镉"水稻属转基因材料,目前无法商业化 应用, 因此需要在诱变等育种技术的应用上进行创 新,加快培育非转基因"去镉"水稻种质或品种[5]。 Ishikawa 等[22] 采用碳离子束辐射日本优质品种越光 得到3个低Cd积累突变体,其中突变体lcd-kmt1与 lcd-kmt2 不仅稻米 Cd 含量显著下降,而且农艺性状 和品质与越光相比无明显差异,同时 lcd-kmt2 获得新 品种登记并命名为 Kan1^[31]。Cao 等^[23] 用化学试剂 甲磺酸乙酯(Ethyl methanesulfonate, EMS)诱变籼稻 材料 9311 得到低 Cd 积累突变体 lcd1,种植于不同稻 田 lcd1 材料谷粒中 Cd 含量仅为 0.02~0.13 mg/kg,且 产量等重要农艺性状与9311 无差异。由此可见,突 变体 lcd1 具有极大的育种价值。本研究就突变材料 lcd1 OsNRAMP5 基因的单个 SNP 突变碱基设计了功 能标记 nra5fun, 在低 Cd 积累品种 MAS 的选育中具 有重大应用前景。笔者认为,可以将目前各稻区的主 推品种、当家品种或具有较大应用潜力的育种品系作 为受体材料,将突变体 lcd1 作为供体材料,通过杂交 渗入低 Cd 积累基因,通过回交利用功能标记 nra5fun 进行世代检测直至材料稳定,即可创制出农艺性状与 受体材料无差异的低 Cd 积累新品系。而且本研究利 用四引物法设计的共显性功能标记 nra5fun 可以区别 杂交改造后代材料的纯合型或杂合型,在回交选育中 材料更容易稳定,可以有效缩短育种年限,提高低镉 积累水稻品种的选育效率。

参考文献:

[1] ZHAO F J, MA Y B, ZHU Y G, et al. Soil contamination in Chi-

- na; current status and mitigation strategies [J]. Environmental Science and Technology, 2015, 49(2): 750-759.
- [2] CLEMENS S, AARTS M G M, THOMINE S, et al. Plant science: the key to preventing slow cadmium poisoning[J]. Trends in Plant Science, 2013, 18(2): 92-99.
- [3] CLEMENS S, MA J F. Toxic heavy metal and metalloid accumulation in crop plants and foods[J]. Annual Review of Plant Biology, 2016, 67(1): 489.
- [4] 林 华,张学洪,梁延鹏,等. 复合污染下 Cu、Cr、Ni 和 Cd 在水稻植株中的富集特征 [J]. 生态环境学报,2014,23(12):1991-1995
- [5] 江 南,颜 旭,周延彪,等. 水稻镉积累影响因素与低镉稻米 生产策略[J]. 中国水稻科学, 2021, 35(4); 342-351.
- [6] 陈彩艳,唐文帮. 筛选和培育镉低积累水稻品种的进展和问题 探讨[J]. 农业现代化研究, 2018, 39(6): 1044-1051.
- [7] 程旺大,姚海根,吴 伟,等. 土壤-水稻体系中的重金属污染及其控制[J]. 中国农业科技导报, 2005, 7(4): 51-54.
- [8] 许肖博,安鹏虎,郭天骄,等.水稻镉胁迫响应机制及防控措施研究进展[J].中国水稻科学,2021,35(5):415-426.
- [9] ZHOU J Q, JIANG Y R, MING X Q, et al. Introgressing the allelic variation of a major locus in reducing the grain cadmium accumulation in *indica* rice hybrids[J]. Molecular Breeding, 2019, 39 (6): 1-11.
- [10] 胡婉茵,王 寅,吴殿星,等. 低镉水稻研究进展[J]. 核农学报, 2021, 35(1): 93-102.
- [11] UENO D, YAMAJI N, KONO I, et al. Gene limiting cadmium accumulation in rice [J]. Proceedings of the National Academy of Sciences of the United States of America, 2010, 107 (38): 16500-16505.
- [12] SASAKI A, YAMAJI N, MA J F. Over expression of OsHMA3 enhances Cd tolerance and expression of Zn transporter genes in rice
 [J]. Journal of Experimental Botany, 2014, 65(20): 6013-6021.
- [13] MIYADATE H, ADACHI S, HIRAIZUMI A, et al. OsHMA3, a P_{1B}-type of ATPase affects root-to-shoot cadmium translocation in rice by mediating efflux into vacuoles[J]. New Phytologist, 2011, 189(1): 190-199.
- [14] YAN H L, XU W X, XIE J Y, et al. Variation of a major facilitator superfamily gene contributes to differential cadmium accumulation between rice subspecies [J]. Nature Communications, 2019, 10(1); 1-12.
- [15] SASAKI A, YAMAJI N, YOKOSHO K, et al. Nramp5 is a major transporter responsible for manganese and cadmium uptake in rice [J]. The Plant Cell, 2012, 24(5): 2155-2167.
- [16] ISHIMARU Y, TAKAHASHI R, BASHIR K, et al. Characterizing the role of rice NRAMP5 in manganese, iron and cadmium transport[J]. Scientific Reports, 2012, 2: 286.
- [17] YANG C H, ZHANG Y, HUANG C F. Reduction in cadmium accumulation in japonica rice grains by CRISPR/Cas9-mediated edi-

- ting of OsNRAMP5[J]. Journal of Integrative Agriculture, 2019, 18(3); 688-697.
- [18] WANG T K, LI Y X, FU Y F, et al. Mutation at different sites of metal transporter gene OsNRAMP5 affects Cd accumulation and related agronomic traits in rice (Oryza sativa L.) [J]. Frontiers in Plant Science, 2019, 10: 1081.
- [19] LIU C L, CHEN G, LI Y Y, et al. Characterization of a major QTL for manganese accumulation in rice grain [J]. Scientific Reports, 2017, 7(1): 1-12.
- [20] LYU Q M, LI W G, Sun Z Z, et al. Resequencing of 1 143 indical rice accessions reveals important genetic variations and different heterosis patterns [J]. Nature Communications, 2020, 11 (1): 4778
- [21] CHANG J D, HUANG S, KONISHI N, et al. Overexpression of the manganese/cadmium transporter OsNRAMP5 reduces cadmium accumulation in rice grain [J]. Journal of Experimental Botany, 2020, 71(18): 5705-5715.
- [22] ISHIKAWA S, ISHIMARU Y, IGURA, et al. Ion-beam irradiation, gene identification, and marker-assisted breeding in the development of low-cadmium rice[J]. Proceedings of the National Academy of Sciences of the United States of America, 2012, 109 (47): 19166-19171.
- [23] CAO Z Z, LIN X Y, YANG Y J, et al. Gene identification and transcriptome analysis of low cadmium accumulation rice mutant (lcd1) in response to cadmium stress using MutMap and RNA-seq [J]. BMC Plant Biology, 2019, 19(1): 1-13.
- [24] 常 远,吴苏亭,杨毅荣 等. 4 引物分子标记鉴定水稻高光效 基因 hd3a^{Kasa}[J]. 杂交水稻, 2020, 35(4): 75-80.
- [25] 孙平勇,张武汉,张 莉,等.水稻氮高效、耐冷基因 *OsGRF4* 功能标记的开发及其利用[J].作物学报, 2021, 47(4): 684-690
- [26] 田孟祥,张时龙,何友勋,等.水稻耐低温基因 *bZIP73* 分子标记的开发与验证[J].江苏农业学报,2019,35(6):1265-1270.
- [27] YE S, DHILLON S, KE X Y, et al. An efficient procedure for genotyping single nucleotide polymorphisms [J]. Nucleic Acids Research, 2001, 29(17):e88.
- [28] 陈 涛,骆名瑞,张亚东,等. 利用四引物扩增受阻突变体系 PCR 技术检测水稻低直链淀粉含量基因 Wx-mq[J]. 中国水稻 科学, 2013, 27(5): 529-534.
- [29] 王 军,赵婕宇,许 扬,等.水稻稻瘟病抗性基因 *Bsr-d1* 功能标记的开发和利用[J]. 作物学报, 2018, 44(11): 1612-1620.
- [30] TANG L, MAO B G, LI Y K, et al. Knockout of *OsNRAMP5* using the CRISPR/Cas9 system produces low Cd-accumulating *indica* rice without compromising yield [J]. Scientific Reports, 2017, 7(1): 1-12.
- [31] ISHIKAWA S, ABE T, KURAMATE M, et al. Development of low-cadmium-accumulating rice [M]. Cadmium Toxicity, Singapore; Springer, 2019; 139-150.

(责任编辑:徐 艳)